

انتقال سازه ژن درمانی توسط نانوذرات پلی پلکسی (نوع پلی اتيلن ايميني هدفمند شده) به سلول های سرطانی روده بزرگ

نويسندگان: فاطمه رهبری زاده^۱، نگار اصل رسولي^۲، فرنوش جعفری ايري سفلي^۲، داود احمدوند^۳

۱. دانشيار - گروه بيوتكنولوجى پزشكى، دانشكده علوم پزشكى، دانشگاه تربیت مدرس، تهران، ایران

۲. دانشجوی - گروه بيوتكنولوجى پزشكى، دانشكده علوم پزشكى، دانشگاه تربیت مدرس، تهران، ایران

۳. استاديار - دانشكده پرآپزشكى، دانشگاه علوم پزشكى تهران، ایران

E-mail: Rahbarif@modares.ac.ir

*نويسنده مسئول: فاطمه رهبری زاده

چکیده

مقدمه و هدف: هدف از این تحقیق، تهیه نانوذرات پلی اتيلن ايميني هدفمند شده با نانوبادی ضد-TAG-72 برای انتقال سازه کدکننده ژن کشنده Bid به سلول های سرطان روده بزرگ (کولون) انسانی است.

مواد و روش ها: ابتدا نانوبادی نوترکیب تخلیص شده با SDS-PAGE، وسترن بلاستیک و الیزا تأیید شد. پلی اتيلن گلیکول روی نانوذرات پلی اتيلن ايمين (PEI) سوار شد و درنهایت با اتصال کووالان نانوبادی بر سطح نانوذرات، ناقل پلی یاکسی هدفمند ساخته شد. بار سطحی و اندازه نانوذرات با استفاده از دستگاه مالورن و دستگاه نانو سایت بررسی و کارایی حامل ژنی ساخته شده در انتقال ژن کشنده به رده های سلولی آدنوکارسینومای روده بزرگ با آزمون Real Time PCR بررسی شد.

نتایج: نتایج دستگاه مالورن، ساخت نانوذرات هدفمند با اندازه ۱۶۸ نانومتر و پتانسیل سطحی +۷،۱۸ میلی ولت را نشان داد. با استفاده از آزمون تأخیر حرکت در ژل، در برگیری و فشرده سازی صحیح و مناسب سازه ژنی را تأیید کردیم. نتایج Real Time PCR هدایت بیان ژن هدف به سلول های توموری روده بزرگ را تأیید کردند.

نتیجه گیری: نتایج این تحقیق، کارایی نانوذرات پلی پلکسی هدفمند شده با نانوبادی در انتقال ژن و قابلیت آنها برای هدفمند سازی انتقال ژن به سلول را تأیید می کند.

واژگان کلیدی: نانوذرات، نانوبادی، پلی اتيلن ايمين، پلی اتيلن گلیکول، TAG-72

دوماهنامه علمی-پژوهشی
دانشگاه شاهد
سال بیستم- شماره ۱۰۱
آبان ۱۳۹۱

دریافت: ۹۱/۶/۲۲
آخرین اصلاح ها: ۹۱/۹/۲۹
پذیرش: ۹۱/۱۰/۹

مقدمه

افزایش حلالیت، پایداری و زمان گردش در خون و کاهش تجمع و سمیت این ذرات می‌شود (۷) ولی با کاهش بار سطحی، میزان کارایی انتقال ژن نیز کاهش-می‌یابد که با اتصال لیگاندهای اختصاصی سلول هدف به سطح نانوذره از طریق PEG، کارایی انتقال ژن و اختصاص آن را افزایش می‌دهند (۸)؛ برای افزایش اختصاص پلی پلکس‌ها از مولکول‌های هدف‌گیر متصل شده به پلی پلکس‌ها استفاده می‌شود که این مولکول‌ها رپسپورهای اختصاصی سطح سلول‌ها را می‌شناسند، بنابراین باعث هدایت این پلی پلکس‌ها به بافت‌هایی خاص می‌شوند. لیگاندهای متعدد مانند ترکیب‌های شیمیایی کوچک، لیگاندهای پیپیدی، ویتامین‌ها، کربوهیدرات‌ها، فاکتورهای رشد، آنتی‌بادی‌ها و وجود دارند. از آنجاکه آنتی‌بادی‌ها در مقایسه با لیگاندهای دیگر، اختصاصی‌تر عمل می‌کنند (۹)، در این مطالعه نیز، از ناحیه متغیر آنتی‌بادی‌های شتری استفاده شده است که نسبت به آنتی‌بادی‌های کلاسیک مزایایی دارند. نانوبادی یا VHH (Variable heavy chain of heavy chain antibodies) کوچک‌ترین دومن متصل‌شونده به آنتی‌ژن از آنتی‌بادی‌های زنجیره سنگین خانواده Camelidae است که در اینجا به عنوان دنباله هدف‌گیر در پلی پلکس‌ها به کار رفته و آنتی‌ژن‌های سطح سلول‌های توموری را هدف‌گیری می‌کند؛ این آنتی‌بادی‌ها، کوچک‌ترین آنتی‌بادی‌های طبیعی با اندازه حدود ۱۵KDa هستند که بدون داشتن زنجیره سبک، به طور کامل، دارای عملکرد هستند (۱۰). آنتی‌ژنی که در این مطالعه مورد هدف قرار گرفته است، آنتی‌ژن TAG-72 (Tumor associated glycoprotein-72) است که یک گلیکو پروتئین غشایی با وزن مولکولی KDa ۲۲۰-۴۰۰ است؛ بیان این آنتی‌ژن در سرطان‌هایی مختلف از جمله آدنوکارسینومای کلون افزایش می‌یابد و در حالت نرمال، فقط در بافت‌های اندومتر در حال تکثیر یا اندومتر در حال استراحت در زنان یائسه و بافت‌هایی خاص از جنین بیان می‌شود؛

مؤثرترین روش‌های درمانی سرطان، روش‌هایی هستند که توانایی کاهش اندازه تومور بدون آسیب به بافت سالم را داشته باشند. یکی از مؤثرترین و کارآمدترین روش‌هایی که به منظور درمان هدفمند سرطان به کار می‌روند، استفاده از نانوذرات حامل داروهای ضد-سرطان یا حامل ژن‌های درمانی هستند؛ نانوذرات، موجبات پیشرفت‌های زیادی را در درمان سرطان از جمله اختصاص و انتقال مؤثر ژن یا دارو به محل تومور فراهم کرده‌اند (۱)؛ همچنین این ذرات در مقایسه با وکتورهای ویروسی از مزایایی ویژه مانند ظرفیت بالای حمل ژن بهره‌مندند (۲ و ۳). امروزه نانو ذراتی متنوع برای درمان سرطان ابداع شده‌اند که از مهم‌ترین این ذرات، پلیمرهای کاتیونی پلی اتیلن ایمین (PEI) هستند که در این تحقیق از این پلیمرها برای انتقال ژن به سلول‌های سرطانی روده بزرگ استفاده شده است. پلیمرهای PEI در محلول‌های اسیدی بار مثبت پیدا-می‌کنند و توسط این بار مثبت می‌توانند قطعات DNA را که دارای بار منفی هستند، به دام‌بیندازند که در این حالت به آنها پلی پلکس گفته می‌شود (۴). پلی پلکس‌های ایجاد شده از اثر نوکلئازها محافظت می‌شوند و از طریق اندوسیتوز، موجبات انتقال قطعه ژنی مربوط به داخل سلول فراهم می‌شود (۵).

بار مثبت پلی پلکس‌های PEI/DNA باعث واکنش‌های ناخواسته با سلول‌های غیرهدف، ترکیب‌های خون و اندوتیلیال عروق می‌شود؛ این واکنش‌ها باعث کاهش نیمه عمر آنها به دلیل اپسونیزه شدن و گیرکردن در عروق باریک و همچنین کاهش اختصاص تخصیص آنها برای تومور به دنبال تجمع آنها در کبد، طحال و شش‌ها می‌شود (۶)؛ برای رفع این موضع از پوشش‌های هیدروفیل مانند پلی اتیلن گلیکول (PEG) استفاده می‌شود. پوشاندن سطح نانوذرات پلیمری با زنجیره‌های (PEG) از طریق ایجاد نوعی پوشش استری، باعث

MAL با وزن مولکولی ۳۵۰۰ دالتون از شرکت JenKem تهیه شد.

تأیید خصوصیات نانویادی (SR-1) ضد آنتیژن TAG-72: محلول دیالیز شده حاوی نانویادی SR-1 با استفاده از SDS-PAGE (Sodium dodecyl sulfate-polyacrylamide gel electrophoresis) روش وسترن بلاستینگ تأیید شد. واکنش اتصال نانویادی SR-1 به آنتیژن TAG-72 به روش الایزا بررسی شد؛ بدین ترتیب که ابتدا چاهک های پلیت الایزا با مولکول های BSA (Bovine Serum Albumin)، BSM (Bovine Submaxillary Mucin)، PSM (Porcine Submaxillary Mucin) چربی (Skim-Milk)، کازئین یا موسین ۱ (MUC1) به عنوان کنترل منفی و همچنین با آنتیژن TAG-72 (همگی با غلظت ۵۰ ng) پوشانده شد و برای مدت یک شب در ۴ درجه سانتی گراد قرار گرفت. بعد از دو بار شستشو با PBS، بافر بلاستینگ (BSA ۴٪) به آن افزوده شد و به مدت ۱ ساعت در ۳۷ درجه سانتی گراد انکوبه و سپس نانویادی SR-1 به چاهک ها اضافه شده، به مدت ۱ ساعت در ۳۷ درجه انکوبه شد. بعد از شستشو با PBS-PBS-Tween به مدت یک ساعت در ۳۷ درجه با آنتی بادی anti-C-Myc متصل به HRP که در بافر فسفات حاوی ۱ درصد BSA رقیق شده است، انکوبه شد؛ سپس شستشو با PBS-Tween و PBS انجام گرفت و سوبسترای TMB به چاهک ها افزوده شد و تا زمان آبی شدن، در تاریکی در دمای ۳۷ درجه سانتی گراد انکوبه شد و سپس برای توقف واکنش از ۲۰ HCl درصد استفاده شد.

مقدار ۸۰ میکرو گرم PEI و ۶۵ میکرو گرم Mal-PEG3500-NHS در ۵۰۰ میکرو لیتر DMSO حل شد و یک ساعت در دمای ۲۵ درجه سانتی گراد با هم زدن محلول شد.. با استفاده از فیلتر های اولترافیلتر اسیون آمیکون PEG (دارای cut off= 10 kDa) مولکول های PEG کوژن شدند. با PEI از محلول خارج شدند. ۵۰ میکرو لیتر از این مخلوط با ۵۰۰ میکرو لیتر آنتی بادی

بنابراین هدفی مناسب برای درمان سرطان با آنتی بادی به شماره می رود (۱۱)؛ درباره مزیت دیگر این آنتیژن باید گفت که بیان آن در بیماری های التهابی و خوش خیم روده بزرگ افزایش نمی یابد (۱۲). در این تحقیق نانویادی ضد آنتیژن TAG-72، به روش نمایش فاژی جداسازی شد و به منظور هدف گیری سلول های سرطانی روده بزرگ انسانی، روی نانوذرات PEI/PEG به عنوان مولکول هدف گیر قرار گرفت.

سازه ژنی که در این مطالعه استفاده شد، حاوی ژن کد کننده پروتئین t-Bid (Truncated Bid) است که یکی از آخرین اجزای مسیر وابسته به میتوکندری آپوپتوز است و به دنبال بیان در سلول موجب خروج سیتوکروم C از فضای میان غشایی میتوکندری و درنتیجه، تشکیل کمپلکس آپوپتوزوم و درنهایت، مرگ سلول می شود. برای القای آپوپتوز در سلول های سرطانی، سازه ژنی بیان کننده پروتئین t-Bid توسط نانوذرات PEI/PEG هدفمند شده با نانویادی ضد آنتیژن TAG-72، به سلول های سرطانی روده بزرگ (LS174T) که واجد این آنتیژن هستند، انتقال داده شد.

مواد و روش ها

در این تحقیق از آنزیم DNA پلیمراز Taq، لیگاز T4 و آنزیم های هضم کننده محدود الایر BbsI، EcoRI، BamHI شرکت Fermentas (Fermentas) استفاده شده است. کیت های تخلیص از ژل NucleoTrap، تخلیص پلاسمید NucleoSpin Plasmid و تخلیص پروتئین His-Tag(Protino® Ni-IDA Packed Columns) دارای شرکت MACHEREY-NAGEL (MN) تهیه شده اند؛ همچنین کیت تخلیص RNA(RNX-Plus) از شرکت سیناژن، رده سلول یوکاریوتی آدنو کارسینومای روده بزرگ (LS174T) و رده سلول های فیبروبلاست NIH3T3 (NIH3T3) از شرکت استرلیتو پاستور ایران، (سلول های فیبروبلاست موشی)، از انستیتو پاستور ایران، پلیمر PEI از شرکت Sigma و ان هیدور کسی سوکسینامید- پلی اتیلن گلیکول- مالئید- NHS-PEG (NHS-PEG).

سطحی در کارایی انتقال ژن به داخل سلول تأثیری بسرا دارد، بار سطحی نانوذره هدفمند به دست آمده (پلی‌پلکس PEI پگیله شده هدفمند با نانوبادی آنتی-TAG 72) توسط دستگاه زتسایزر (Malvern) و اندازه نانوکمپلکس‌ها با کمک دستگاه نانو سایت (دانشگاه کوینهاگ، دانشکده داروسازی، گروه نانومدیسین و انتقال دارو) اندازه‌گیری شد.

سلول‌های رده LS174T (رده سلولی آدنوکارسینومای روده بزرگ انسان دارای بیان آنتی ژن TAG-72) به عنوان سلول هدف و رده NIH3T3 (رده سلولی فیبروبلاست موشی) به عنوان شاهد، در محیط DMEM با ۱۰ FCS با درصد کشت و تعداد $10^4 \times 6$ سلول برای هر چاهک به پلیت ۲۴ خانه متقل شدند تا به تراکم محیطی ۸۰ درصد برسند؛ سپس در محیط DMEM با مقادیر کاوهشی انکوبه شدند و ۱۴ ساعت پیش از ترانسفکشن به آنها محیط DMEM بدون آنتی‌بیوتیک با ۱ درصد اضافه شد. نانوذرات PEI/PEG هدفمند شده با نانوبادی ضد TAG-72 که حاوی $0.5\mu\text{g}$ پلاسمید HRE/ERE- pMUC1-t-Bid (N/Pratio= 12/1) بودند به صورت تازه تهیه شدند؛ سپس محیط کشت از روی سلول‌ها جمع و یکبار با محیط کشت خام که به دمای ۳۷ درجه سانتی-گراد رسیده است، شسته شد. مواد زیر به ترتیب به سلول‌ها افزوده شدند: $150\mu\text{l}$ محیط DMEM بدون سرم و آنتی-بیوتیک برای هر چاهک از پلیت‌های ۲۴ خانه و $100\mu\text{l}$ مخلوط ترانسفکشن حاوی $0.5\mu\text{g}$ میکروگرم از DNA پلاسمیدی، که قطره قطره به هریک از خانه‌های پلیت ۲۴ خانه اضافه شد؛ سپس سلول‌ها ۴ ساعت در انکوباتور ۳۷ درجه سانتی-گراد با 5 ml CO_2 کشت داده شد و سپس مخلوط ترانسفکشن از روی سلول‌ها برداشته شد و سلول‌ها یکبار با محیط DMEM خام که به دمای ۳۷ درجه سانتی-گراد رسیده بود، شسته شدند؛ سپس داخل هر چاهک 1 ml محیط کشت کامل DMEM با 10 FCS در درصد اضافه شد و سلول‌ها برای ۶ تا ۱۶ ساعت در

(پیتید) مورد نظر با غلظت 0.5 mg/ml در PBS مخلوط شد و برای مدت دست کم ۱۲ ساعت در دمای ۴ درجه سانتی-گراد و با حرکت 600 دور در دقیقه قرار گرفت. برای تهیه نانوذرات PEI/PEG غیرکوژن‌وگه بانانوبادی، به جای نانوبادی در مرحله قبل، از اسید آمینه L-cysteine با غلظت 0.5 mg/ml استفاده شد. برای تخلیص نانوذرات تهیه شده، از فیلترهای اولترافیلتراسیون آمیکون با cut off= ۲۰ kDa استفاده شد. برای اندازه‌گیری مقدار PEI/PEG و نانوبادی از فرمول Warburg استفاده شد.

$C(\text{mg/ml}) = 1.55 \times (A_{280}-A_{320}) - 0.76 \times (A_{260}-A_{320})$ در این فرمول، غلظت است که با استفاده از میزان جذب در طول موج‌های مشخص شده، محاسبه می‌شود.
HRE/ERE-(pMUC1-t-Bid) محلول پلاسمید حاوی ژن کشنه (DNA) با غلظت $100\text{ }\mu\text{g}$ در هر میلی‌لیتر آب Ultrapure تهیه شد. $0.5\text{ }\mu\text{l}$ میکروگرم از DNA پلاسمیدی در $50\text{ }\mu\text{l}$ میکرولیتر محیط کشت بدون سرم حل شد.

PEI/PEG/SR-1، PEI/PEG ($3.2 \times 10^{-7}\text{ M PEI}$) و (۳.۲×۱۰^{-۷} M PEI) در $50\text{ }\mu\text{l}$ میکرولیتر محیط کشت DMEM بدون سرم حل شد. محلول به دست آمده در مرحله پیشین، قطره قطره به محلول DNA اضافه شد. در تمام این مدت، مخلوط به آرامی ورتكس و برای ۳۰ دقیقه در دمای اتاق انکوبه شد تا برای ترانسفکشن آماده شود.

به منظور اطمینان از آنکه پلاسمید حاوی سازه ژنی HRE/ERE- pMUC1-t-Bid در داخل نانوذرات ساخته شده، به خوبی فشرده شده است، پلی‌پلکس PEI/PEG غیرهدفمند با نانوبادی، هدفمند و پلی‌پلکس PEI/PEG غیرهدفمند با نانوبادی، با غلظت مشابه آنچه برای ترانسفکشن سلول‌ها به کار رفت، تهیه و پس از ۳۰ دقیقه انکوباسیون در دمای اتاق، در کنار سازه ژنی کمپلکس نشده با PEI، به عنوان کنترل، روی ژل آگارز ۱ درصد در ولتاژ $V=100$ برای مدت ۳۰ دقیقه الکتروفورز شد. باندهای DNA با نور UV مشاهده شد (تست تاخیر حرکت DNA در ژل). از آنجاکه بار

سازه ژنی تهیه شده با نانوبادی از این سه کنترل (پلکس PEI/PEG، پلکس PEI/PEG/SR-1 و پلکس PEI/PEG) با هم متفاوت نبودند.

از فریزکردن سلول‌ها در فریزر ۷۰– درجه سانتی‌گراد)، حجم ۱۰ میکرولیتر از آنها با حجم برابر از رنگ حیاتی تریپان بلو ترکیب و زیر میکروسکوپ، تعداد سلول‌های زنده و مرده شمارش شدند.

نتایج

غلظت محلول حاوی نانوبادی به روش برادرورد تعیین شد که با استفاده از پروتئین BSA برای غلظت‌های استاندارد، غلظت نانوبادی معادل $0,21\text{mg/L}$ براورد شد و سپس روی ژل ۱۵ درصد پلی اکریل آمید الکتروفورز شد؛ نتایج SDS-PAGE وجود نانوبادی را تأیید می‌کنند (شکل ۱).

برای اطمینان از اینکه باند دیده شده در ژل-SDS-PAGE مربوط به نانوبادی است، وسترن بلاستینگ نیز انجام گرفت. در وسترن بلاستینگ با کاربرد آنتی‌بادی موشی ضد C-myc tag (مولکول tag موجود در انتهای نانوبادی نوت‌رکیب) حضور تک باند نانوبادی در ناحیه حدود ۲۰ کیلو دالتون تأیید شد (شکل ۲).

اختلاف OD_{450nm} میان چاهک‌های کنترل منفی و آنتی ژن TAG-72 معرف واکنشگری نانوبادی به آنتی ژن مرتبط به صورت ویژه است (جدول ۱).

پس از تهیه پلی پلکس‌های حاوی سازه ژنی ۱۰ میکرولیتر از نمونه‌های تازه تهیه شده در ژل آگارز ۱ درصد برای ۴۵ دقیقه الکتروفورز شد. توانایی نانوذرات برای دربرگیری و بسته‌بندی سازه ژنی و درنتیجه، جلوگیری از حرکت الکتروفورزی آن در جهت قطب مثبت (بار مثبت غالب در نانوذره حرکت آن را به صورت معکوس یعنی از مثبت به منفی تغییر می‌دهد) در شکل ۳ نشان داده شده است. سازه ژنی به تهایی (به عنوان کنترل) که به راحتی در ژل حرکت می‌کند، در این آزمون آورده شده است.

اندازه‌گیری بار سطحی نانوذرات PEI/PEG هدفمند شده با نانوبادی که همگی با نسبت ۱۲ به ۱ (PEI به

دمای ۳۷ درجه سانتی‌گراد و ۵ درصد CO₂ انکوبه شدند. تیمارهایی که روی هر دو سلول هدف و کنترل صورت گرفتند، شامل موارد زیرند: PE I به تهایی، PEI/PEG حامل سازه ژنی، PEI/PEG/SR-1 حامل سازه ژنی و سلول‌های بدون تیمار (به عنوان کنترل).

۱۶ ساعت بعد از ترانسفکشن، تخلیص RNA از سلول‌ها توسط کیت تخلیص RNA از شرکت MN انجام شد و سپس واکنش سنتز cDNA روی آنها به کمک کیت سنتز cDNA از شرکت Fermentas صورت گرفت. به منظور بررسی کمی بیان ژن و با استفاده از دستگاه Real Time PCR (شرکت Applied Biosystem) و اسنیشن Real Time PCR (Stepone) روش تمام cDNA برای تامین تیمارها محاسبه شد.

$E = \frac{\text{هرد}(\text{Ct}_{\text{هدف}} - \text{Ct}_{\text{کنترل}})}{\text{هرد}(\text{Ct}_{\text{کنترل}} - \text{Ct}_{\text{هدف}})}$

نسبت بیان

در این فرمول بیانگر کارایی تکثیر است و Ct (Cross threshold)، محل تقاطع منحنی تکثیر با خط آستانه است یا به عبارتی، نشان‌دهنده شماره چرخه‌ای از PCR است که در آن میزان فلورسنس به حد آستانه می‌رسد.

سازه ژنی حمل شده با نانوذرات PEI/PEG، بعد از ورود به سلول‌های سرطانی روده بزرگ به دلیل قرار-گرفتن پرومومتر ژن MUC1 پیش از ژن t-Bid و بیان بالای MUC1 در سلول‌های سرطانی روده بزرگ باعث تولید پروتئین کشنده t-Bid در این سلول‌ها می‌شوند. برای مقایسه اثر نانوذرات هدفمند و غیرهدفمند بر سلول‌های سرطانی و سلول‌های کنترل، یکی از راه‌ها، شمارش سلول‌های زنده و مرده است؛ کنترل منفی در این آزمایش سلول‌های بدون تیمار هستند. پس از تریپسینه کردن سلول‌ها و جداسازی آنها از کف (پیش

گرفته شده است دال بر قدرت ایجاد آپوپتوز و توکسیستی توسط PEI بدون PEG (به علت قابلیت سوراخ کردن دیواره میتوکندری و خروج سیتوکروم c) است؛ از طرفی، تیمار سلول‌ها با نانوذرات بدون سازه ژنی مشاهده می‌شود که اثر این بر سلول‌های مورد آزمون خیلی نزدیک به کترل منفی و نیز خیلی نزدیک به مرگ-ومیر در سلول بدون تیمار است که نشان‌دهنده سمیت پایین نانوذرات بر سلول‌های عادی است (در نمودار شماره SR-1,2 معادل نانوبادی ضد t-Bid و TAG-72). از معادل سازه ژنی HRE/ERE-pMUC1-t-Bid است؛ از مقایسه این نمودارها مشخص است که پلی پلکس‌های t-Bid پگیله و هدفمند با نانوبادی، در انتقال ژن کشته شده از سلول‌های سرطانی روده بزرگ موفق بوده‌اند و باعث کمترین میزان مرگ‌ومیر در سلول‌های فاقد آنتی ژن سطحی TAG-72 شده‌اند؛ همچنین اثر پگیلاسیون و هدفمند کردن پلی پلکس‌ها در کاهش اثر سمی نانوذرات PEI به‌طور کامل، مشهود است.

بحث و نتیجه‌گیری

براساس پیشرفت‌های گزارش شده در دهه اخیر به نظری رسید ژن درمانی راهکارهایی مؤثر در زمینه درمان سرطان ارائه خواهد کرد. تعریف دقیق از بافت هدف و یافتن یک حامل مؤثر برای انتقال ژن همچنان دو محدودیت بزرگ موجود در زمینه کاربرد درمانی ژن‌ها هستند. تاکنون دو روش عمده برای انتقال ژن به سلول‌های یوکاریوتی به کار رفته‌اند که شامل ۱- به کار گیری حامل‌های ویروسی و ۲- حامل‌های بربایه لیپید، پپتید یا پلیمرهای کاتیونی (سیستم‌های غیروویروسی) می‌شوند. گرچه وکتورهای ویروسی هنوز هم کارآمدترین سیستم انتقال ژن به حساب می‌آیند القای پاسخ ایمنی و قابلیت نوترکیبی آنها با ژنوم از جمله بزرگ‌ترین معایب این سیستم‌ها به شمار می‌رود (۱۳).

یکی از پلیمرهای کاتیونی مؤثر که به عنوان حامل ژنی غیروویروسی هم در آزمایشگاه و هم در بدن موجود

DNA یا N/P) تهیه شد به کمک دستگاه زتابایزر Malvern انجام گرفت. میانگین پتانسیل زتا در سطح نانوذرات بعد از پگیله شدن 18.7 ± 1.8 میلی ولت بود (جدول ۲).

اندازه نانوذرات پگیله هدفمند شده با نانوبادی به [Nanoparticle Nanosight با نرم افزار Tracking Analysis (NTA) Version 2.0] میانگین اندازه نانوذرات 168 ± 69 nm و بخش اعظم نانوذرات اندازه‌گیری شده، 126 ± 126 nm بودند (شکل ۴).

بعد از تخلیص RNA از سلول‌های تحت تیمار، cDNA ساخته شده از آنها به عنوان الگو در RT PCR استفاده شد. نتایج RT PCR پس از محاسبه نسبت بیان ژن t-Bid در مقایسه با ژن کترل بتا اکتین در نمودار ۱ مشاهده می‌شود. نتایج به صورت میانگین \pm انحراف معیار نشان‌داده شده‌اند؛ این نمودار با مقایسه تیمارهای PEI/PEG/t-Bid و PEI/t-Bid نشان‌دهنده میزان کاهش ترانسفکشن غیرهدفمند، در نتیجه پگیلاسیون است؛ همچنین نمایان گر اثر مثبت نانوبادی SR-1 در انتقال سازه ژنی به سلول‌های دارای آنتی ژن سطحی TAG-72 است؛ این نمودار نشان‌می‌دهد که میزان انتقال ژن توسط نانوذرات غیرکونژوگه با نانوبادی، در سلول LS174T محدود است و اختصاصی‌ترین میزان بیان ژن t-Bid توسط نانوذرات پگیله و کونژوگه با نانوبادی SR-1 و به صورت اختصاصی در سلول‌های LS174T دیده می‌شود. میزان مرگ سلولی بر اثر تیمارهای مختلف در مقایسه با حالت تیمار نشده، راهی مناسب برای ارزیابی میزان سمیت سلولی و نیز کارایی حامل ژنی ساخته شده در انتقال ژن کشته t-Bid است. نمودار شماره ۲ نتایج شمارش سلول‌های زنده و مرده را براساس نوع سلول و نوع تیمار به صورت میانگین \pm انحراف معیار نشان‌می‌دهد. در خصوص سمیت سلولی حاصل از خود ذرات PEI با توجه به اثر این نانوذرات بر سلول‌های NIH3T3 که به عنوان سلول غیربیان‌کننده آنتی ژن در نظر-

طراحی شده است متصل می شوند (۱۶).

تحقیقات نشان داده اند که کارایی انتقال ژن با اتصال آنتی بادی از طریق PEG بسیار پیشتر از مواردی است که آنتی بادی از طریق دیگر لینکرها به PEI متصل شود؛ بدین ترتیب هم سمیت سیستمیک پلی پلکس های PEI کم می شود و هم زمان گردش این نانوذرات در جریان خون افزایش می یابد (۱۷)؛ اما باعث کاهش اثربخشی آنها در تحويل ژن به سلول ها می شود. برای بهبود این نقص لیگاند های هدف یاب به کمک آمدند تا مسیرهای اندوسيتوز وابسته به گیرنده را به کارگیرند و ژن را به سلول تحويل دهند؛ برای این منظور، مولکول های هدف یاب نانوبادی را روی پوشش PEG وارد کردیم.

در تلاش برای کوچک تر کردن اندازه آنتی بادی ها برای حذف ایمنوژنیستی و کاربردی کردن آنها در بالین، آنتی بادی های تک دومنی که فقط از بخش متغیر (VH) زنجیره سنگین آنتی بادی های معمولی تشکیل شده است، تولید شدند (۱۸)؛ این آنتی بادی ها چون زنجیره سبک را ندارند، افینیت پایینی نسبت به آنتی ژن خود دارند؛ به علاوه چون اسیدهای آمینه هیدروفوب VH در این شرایط در معرض قرار می گیرد باعث چسبیدن این آنتی بادی های تک دومنی به هم می شود (۱۹). مطالعات بعد نشان داد این آنتی بادی های تک دومنی به طور طبیعی در سرم شترها وجود دارد و ۵۰ درصد پاسخ ایمنی این حیوانات را شامل می شود. نانوبادی ها در شناسایی آنتی ژن مخصوص سرطان موفق بوده اند. در تحقیق حاضر از ناحیه متغیر آنتی بادی های شتری (نانوبادی یا VHH) برای هدف گیری سلول های سرطانی روده بزرگ استفاده شده است؛ در مطالعات پیشین گروه ما به کمک روش نمایش فازی و طلاشویی، نانوبادی با بیشترین میل پیوندی برای آنتی ژن TAG-72، از میان کتابخانه ژنی جدا شده است. TAG-72 نوعی گلیکوپروتئین با وزن مولکولی بالا و شبیه خانواده موسین ها است؛ این گلیکوپروتئین ها در سلول های سالم بیان نمی شوند مگر در بافت هایی خاص از جنین که به

زنده استفاده می شود پلی اتیلن ایمین (PEI) است، اما باید این نانو حامل را برای تحويل ژن به بافت یا سلول مورد نظر هدفمند کرد. پلی پلکس های PEI تغییر نیافته، توانایی تمیز میان بافت هدف و غیر هدف را ندارند و به غشای هر سلولی که در مسیر شان قرار گیرد می چسبند؛ به همین دلیل، تزریق سیستمیک این پلی پلکس ها در موش (از طریق ورید دمی) باعث بیان ژن در ریه ها (۱۴) و سمیت سیستمیک (۱۵) خواهد شد. برای جلوگیری از واکنش میان نانوذرات با ترکیب های خون و غشای سلول های غیر هدف، سطح نانوذرات را پگیله می کنند تا نانوذراتی با بار به طور تقریبی، خنثی بددست آید؛ پلی اتیلن گلیکول (PEG) علاوه بر این کار به عنوان spacer برای اتصال لیگاند و در تیجه، هدفمند کردن نانوذرات اهمیت دارد. PEG برای اولین بار در سال ۱۹۹۰ برای پگیله کردن پروتئین آدنوزین دامیناز گاوی مجوز FDA گرفت و پس از آن از این پلیمر هیدروفوب استفاده های بسیاری در صنعت داروسازی به عمل آمده است. هدف از این مطالعه، القای آپوپتوz در رده های سلول های سرطانی روده بزرگ است؛ بدین منظور، سازه ژنی بیان کننده پروتئین t-Bid توسط نانوذرات PEI/PEG هدفمند شده با نانوبادی ضد آنتی ژن TAG-72 (آنتی ژن اختصاصی سلول های سرطانی روده بزرگ)، به سلول های سرطانی روده بزرگ (LS174T) که واجد این آنتی ژن هستند، انتقال داده شد. در این تحقیق از PEI شاخه دار ۲۵ کیلو دالتونی که در میان وزن های مولکولی مختلف PEI به عنوان پر کاربرد ترین و دارای بیشترین کارایی انتقال ژن است، استفاده شده است؛ همچنین برای کاهش سمیت PEI و افزایش کارایی انتقال ژن، آن را به کمک مولکول های NHS-PEG-Mal (با دو سر واکنشگر مختلف) کونژو کردیم؛ این مولکول های PEG به خوبی امکان اتصال آنتی بادی به نانوذرات را فراهم می آورند؛ این مولکول ها از طرف NHS به گروه های آمین PEI و از طرف Mal به سیستئینی (cys) که در انتهای کربوکسیل لیگاند یا آنتی بادی

پوشش PEG مانع از ورود پلی پلکس به سلول‌ها نمی‌شود، این نتیجه نشان‌دهنده اثر هدفمندسازی رونویسی با قراردادن پرومومتر MUC1 پیش از ژن است. از مقایسه اثر پلی پلکس‌های پگیله ولی غیرهدفمند بر سلول‌های LS174T و سلول‌های NIH3T3 (کنترل)، به کاهش میزان انتقال ژن به هر دو نوع سلول بر اثر پگیلاسیون پی‌می‌بریم؛ همچنین از مقایسه این نتایج با تیمار PEI-t-Bid بر هر دو سلول متوجه می‌شویم که پگیلاسیون به خوبی توانسته مانع از اثر سمی و انتقال غیراختصاصی و غیرهدفمند به سلول‌های کنترل شود. بدون هدفمندسازی انتقال ژن، بیان ژن t-Bid تابعی از میزان بیان ژن MUC1 در سلول‌هاست و چون در این مطالعه، سلول‌ها از نظر بیان ژن t-Bid به صورت LS174T>NIH3T3 بودند، بنابراین افزایش ۵ برابری بیان ژن هدف در رده سلولی LS174T نسبت به حالت کنترل آن نشان‌دهنده فعالیت بالاتر پرومومتر ژن MUC1 در همین رده سلولی است.

در بررسی نتایج پلی پلکس‌های PEI/PEG/SR-1/t-Bid و از مقایسه آن با پلی پلکس‌های PEI/PEG/t-Bid هدف، متوجه تأثیر شایان نانوبادی در ورود نانوذرات به سلول‌های سرطان روده بزرگ که دارای آنتی ژن سطحی TAG-72 هستند، می‌شویم. اثر مثبت نانوبادی در هدفمندکردن نانوذره، از طریق مشاهده افزایش ۳۸ برابری بیان ژن t-Bid در سلول‌های LS174T در مقایسه با سلول‌های NIH3T3 (فاقد آنتی ژن سطحی TAG-72)، استنتاج می‌شود. از مقایسه اثر پلی پلکس‌های پگیله هدفمند و غیرهدفمند بر سلول‌های NIH3T3 اثر نانوبادی‌ها به عنوان یک مولکول نشانه‌گیر برای هدایت سازه درمانی به سلول‌های سرطانی و جلوگیری از انتقال سازه درمانی به سلول‌های نرمал و نیز یک پوشش مولکولی مضاعف و کاهش سمیت پلی پلکس مشاهده‌می‌شود.

در آزمایشگاه بیوتکنولوژی پزشکی تربیت مدرس،

این دلیل به آن آنتی ژن oncofetal نیز می‌گویند؛ همچنین سطحی از بیان این آنتی ژن بر سطح سلول‌های اندومتر نیز دیده می‌شود؛ بنابراین با توجه به اینکه این آنتی ژن به طور تقریبی، تنها روی سلول‌های سرطانی بیان می‌شود، هدفی مناسب برای انتقال ژن و دارو به سلول‌های سرطانی است. TAG-72 روی سطح ۸۰ درصد از انواع سلول‌های سرطانی روده بزرگ بیان می‌شود (۲۰). در این مطالعه از نانوبادی ضد آنتی ژن توموری TAG-72 استفاده شده است. رده‌های سلولی LS174T (رده سلولی دارای بیان آنتی ژن TAG-72) و NIH3T3 (رده سلولی کنترل فاقد بیان این آنتی ژن) به کار گرفته شدند تا توانایی هدفمندکردن نانوذرات با نانوبادی و کارایی انتقال ژن به سلول‌های سرطانی دارای TAG-72 توسط نانوذرات PEI در شرایط in-vitro تأیید شود.

در ضمن، در این تحقیق از نوعی سازه ژنی کشنده اختصاصی تومور (HRE/ERE-pMUC1-t-Bid) که در آن پرومومتر ژن MUC1 پیش از ژن t-Bid قرارداده شده است، استفاده کردیم (۲۱). بیان ژن MUC1 در تومورهای روده بزرگ و برخی تومورهای دیگر بیشتر از سلول‌های نرمal است؛ در نتیجه، پرومومتر آن پیش از ژن pرو آپوپتویک t-Bid به بیان بالای آن و القای آپوپتوز در سلول‌های سرطانی روده بزرگ منجر می‌شود. کارایی سازه ژنی کد-کننده ژن هدف t-Bid در القای مرگ سلول‌های توموری در مطالعات پیشین همین گروه با کاربرد لیپوفکتامین (۲۱) تأیید شده است. در این مطالعه برای انتقال هدفمند این سازه ژنی به سلول‌های یادشده در محیط آزمایشگاه از نانوذرات PEI پگیله شده استفاده شده است.

در مقایسه تیمار PEI/t-Bid روی سلول‌های سرطانی روده بزرگ (LS174T) و سلول‌های کنترل (NIH3T3)، بیان ژن t-Bid در سلول‌های LS174T به طور تقریبی، ۱۰ برابر بیشتر از بیان آن در سلول‌های کنترل (که ژن MUC1 انسانی را بیان نمی‌کنند) است؛ از آنجاکه در این نوع تیمار

سال پنجم / شماره ۱ / زمستان ۱۴۰۰ / www.SID.ir

هدف یاب بود (۲۴). در بررسی دیگری، CR16 را ضد گیرنده فاکتور رشد فیبروبلاستی (FGF) به PEI متصل کردند و تأثیر مثبت این لیگاند را در انتقال ژن به داخل سلول‌های دارای این گیرنده چه در آزمایشگاه و چه در بدن موجود زنده نشان دادند (۲۵). پلی پلکس‌های PEI را با لیگاندهای دیگری نیز به کاربرده‌اند: از جمله توالی RGD (۲۶)، گالاکتوز (برای هدف‌گیری سلول‌های کبدی) (۲۷)، آنتی CD4 (۲۸)، gp120 (۲۹)، فولات (۳۰ و ۳۱)، پپتیدهای پوشش HIV (۳۲)، اما اغلب مطالعات در زمینه هدف‌گیری با نانوذرات PEI، براساس پلی پلکس‌های PEI پگیله شده انجام شده است. اتصال فولات به کمپلکس PEI/PEG در انتقال هدفمند ژن‌ها به سلول‌های دارای گیرنده فولات تأثیر مثبت داشته است (۳۴ و ۳۵).

در یک بررسی فاکتور رشد اپیتیلیالی (EGF) به PEI پگیله شده متصل شد تا سازه ژنی حاوی لوسيفراز را به رده سلولی EGFR – Renca وارد کند؛ میزان ورود ژن به داخل این رده سلولی در مقایسه با رده سلولی Renca بدون EGFR ۲ تا ۳ برابر بیشتر گزارش شده است (۳۶)؛ در مطالعه‌ای دیگر، ترانسفرین لیگاند پلی پلکس‌های PEI پگیله بود تا ژن لوسيفراز را به تومورهای نوروپلاستوما در موش‌های A/J منتقل کند. میزان بیان ژن در سلول‌های توموری ده تا صد برابر سلول‌های نرمال گزارش شد؛ در همین مطالعه، اتصال ترانسفرین (Tf) به پلی پلکس‌های PEI پگیله شده در انتقال ژن به سلول‌های هپاتوسلولار کارسینومای انسانی در موش‌های SCID، همان تأثیر را داشته است. تجویز مکرر کمپلکس PEI/PEG/Tf حاوی ژن فاکتور نکروز توموری α (TNF α) به نکروز سلول‌های توموری انجامید (۳۷)؛ در مطالعه‌ای دیگر RGD به عنوان لیگاند هدف‌یاب به کمپلکس‌های PEI/PEG

علاوه بر نانوذرات پلی اتیلن ایمینی از پلیمرهای کاتیونی PAMAM (پلی آمید و آمین) نیز به منظور انتقال هدفمند ژن کشنده به سلول‌های سرطان کولون استفاده شده است؛ بدین منظور این ذرات با نانویادی علیه TAG-72 (آنتی-ژن اختصاصی سلول‌های سرطان روده بزرگ) هدفمند شده‌اند و نتایج کار به خوبی نمایانگر تأثیر قابل توجه مولکول نانویادی ویژه آنتی ژن‌های توموری در فرایند انتقال ژن است؛ همچنین از ذرات پلیمری PEI نیز برای هدفمند کردن انتقال ژن به سمت سلول‌های سرطان سینه با به کاربردن نانویادی ضد MUC1 و HER2 (آنتی ژن‌های اختصاصی سلول‌های سرطان سینه) استفاده شده است.

تاکنون پلی پلکس‌های بسیاری طراحی شده‌اند که از مسیر اندوسیتوز وابسته به گیرنده به سلول وارد شوند. در بسیاری از بیماری‌ها که ژن با هدف درمان باید به گروهی خاص از سلول‌ها وارد شود، وجود گیرنده‌هایی بر سطح برخی سلول‌ها ابزاری مؤثر در انتقال ژن به گروهی خاص از سلول‌ها خواهد بود؛ برای این منظور به حامل‌ها مولکول‌های هدف‌یاب متصل می‌کنند تا پس از شناسایی گیرنده‌های سطحی خود به سلول وارد شوند؛ در دو مطالعه آنتی‌بادی ضد رسپتور نوع ۲ فاکتور رشد اپیدرمی انسانی (HER2) یا همان هرسپتین را به PEI متصل کردن و نشان دادند با این کار میزان ورود ژن به سلول‌های رده SKBR3 (۲۲) و ۳ – SKOV (۲۳) که HER2 را بر سطح خود بیان می‌کنند، بیشتر از سلول‌هایی است که این آنتی ژن را بر سطح خود ندارند؛ در مطالعه‌ای دیگر، ترانسفرین، آنتی CD3 و فاکتور رشد اپیتیل (EGF) را به طور جداگانه به پلی پلکس‌های PEI متصل کردن و تأثیر این مجموعه را بر انتقال به طور تقریبی، اختصاصی ژن به ترتیب به سلول‌های توموری مختلف، سلول‌های jurkat و سلول‌های رده آدنوکارسینومای روده بزرگ (KB) بررسی و اثبات کردند؛ در همه موارد سرعت ورود ژن به سلول هدف بسیار بیشتر از انتقال ژن با واسطه حامل‌های فاقد لیگاند

به طور کلی، این مطالعه تأییدی بر کارایی نانوذرات پلی پلکسی PEI /PEG /SR-1 /t-Bid در انتقال ژن و نیز تأثیر مثبت پگیله کردن و اتصال نانوبادی ضد TAG-72 به این نانوذره حامل ژنی (برای هدفمندسازی انتقال ژن به سلول) است.

متصل شد؛ در این بررسی در ورود اختصاصی ژن به سلول‌های آنزیوژنیک، تغییری مثبت مشاهده نشده است و دلیل آن به احتمال، پوشانده شدن این لیگاندها با PEI/PEG هیدروفیل است. در حالی که اگر فاکتور رشد اندوتلیوم عروقی (VEGF) به عنوان لیگاند به کاربرده شود، ورود ژن به سلول‌های اندوتلیال عروق کوچک پوست انسان (HDMEC) پنج برابر بیش از زمانی است که شاخه‌دار به عنوان حامل ژن به کار رود (۳۸، ۳۹ و ۴۰).

جدول ۱. نتایج الایزا در OD450 نانومتر

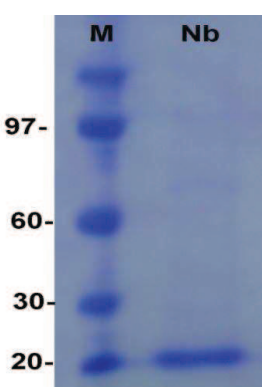
نتایج به صورت میانگین ± انحراف معیار نشان داده شده است.

مولکول واکنشگر	TAG-72	BSA	BSM	PSM	skimmed-milk	کازئین	MUC1
OD ₄₅₀	۱,۶ ± ۰,۲۳	۰,۳ ± ۰,۲	۰,۵ ± ۰,۲	۰,۵ ± ۰,۳	۰,۲ ± ۰,۳	۰,۳ ± ۰,۳	۰,۷ ± ۰,۳

جدول ۲. نتیجه بررسی پتانسیل زتا نانوذرات PEI /PEG /SR-1 /DNA در سه نوبت نشان داده شده است؛

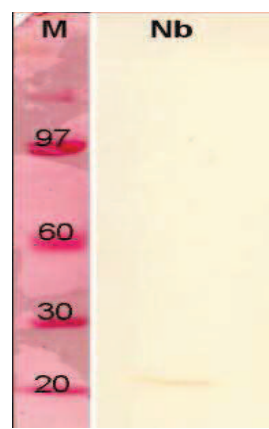
هدایت کنندگی (میلی سیمین/سانتی متر)	تحرک الکتروفوروزی (میکرومتر*سانتی متر/ولت*ثانیه)	پتانسیل زتا (میلی ولت)	دما (سانتی-گراد)	شماره نمونه
۲۱,۷	۰,۴۹۱۴	+۶,۳۶	۲۵	۱
۲۳,۲	۰,۵۹۳۹	+۷,۵۶	۲۵	۲
۲۴,۳	۰,۶۰۵۴	+۷,۷۲	۲۵	۳
۲۳,۰۶	۰,۵۶۳۵	+۷,۱۸	۲۵	میانگین

میانگین پتانسیل زتا ذرات +۷,۱۸ میلی ولت است.



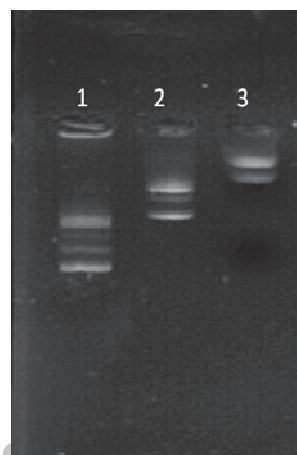
شکل ۱. نتیجه SDS-PAGE پروتئین تخلیص شده.

ستون اول از سمت چپ مربوط به مارکر پروتئینی و ستون دوم، بانددار محدوده ۲۰ کیلو دالتون مربوط به پروتئین نانوبادی را نشان می‌دهد.

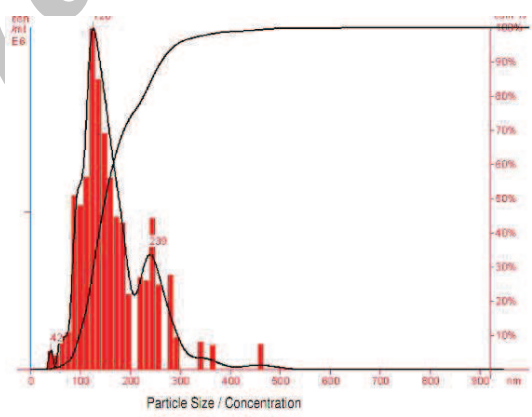


شکل ۲. نتیجه وسترن بلاستینگ

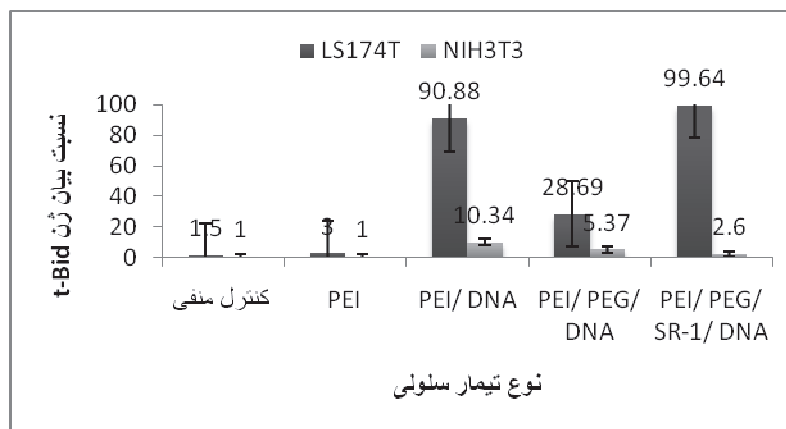
ستون اول از سمت چپ نشانگر مارکر پروتئینی است و ستون دوم تکباند نانوبادی SR-1 است.



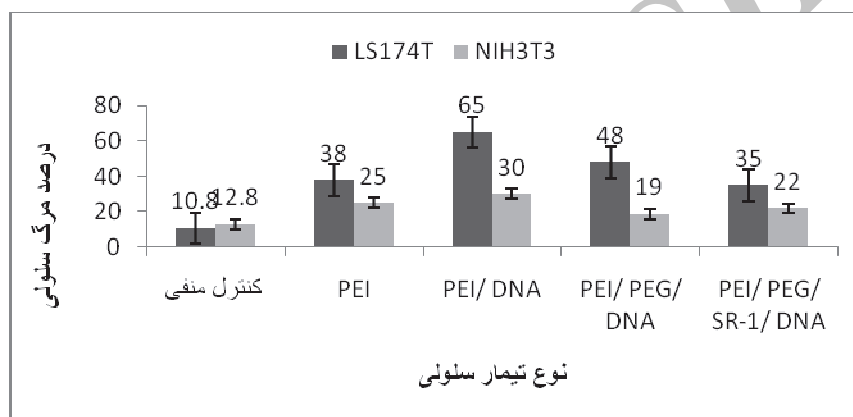
شکل ۳. نتیجه تأثیر حرکت در ژل: ۱) DNA پلاسمیدی حاوی ژن t-Bid (به تنها ی) ۲) PEI/DNA (۳) PEI/PEG/DNA (۴). بار مثبت غالب در نانوذره حرکت آن را به صورت معکوس یعنی به سمت قطب منفی تغییر می‌دهد و پوشش PEG سبب کاهش بارهای مثبت سطحی نانوذره PEI و در نتیجه، حرکت بیشتر آن نسبت به PEI، به سمت قطب منفی می‌شود)



شکل ۴. نتایج بررسی اندازه نانوذرات PEI/PEG/SR-1/DNA در نمودار نشان داده شده است. میانگین اندازه نانوذرات ۱۶۸ نانومتر با انحراف معيار ۶۹ نانومتر گزارش شده است. تصویر سمت راست، تشکیل نانوکمپلکس‌هایی با اشکال یکنواخت و عدم تشکیل تجمعات بین ذره‌ای را در نمونه مورد بررسی نمایش می‌دهد.



نمودار ۱. نسبت بیان ژن کشنده با ژن کنترل (بتا اکتین) در سلول‌های NIH3T3 و LS174T در مقایسه با ژن کنترل (ببا اکتین) در سلول‌های NIH3T3 و LS174T در Real Time PCR. نتایج به صورت میانگین ± انحراف معیار نشان داده شده است.



نمودار ۲. نتایج شمارش سلولی رده‌های NIH3TS و LS174T، درصد مرگ سلولی به صورت میانگین ± انحراف معیار برای هر دو رده سلولی نشان داده شده است.

منابع

- Brannon-Peppas L, Blanchette JO. Nanoparticle and targeted systems for cancertherapy. *Adv. Drug Deliv.* 2004; 56 (11): 1649–1659.
- Mansouri S, Lavigne P, Corsi K, Benderdour M, Beaumont E, Fernandes JC. Chitosan–DNA nanoparticles as non-viral vectors in gene therapy: strategies to improve transfection efficacy. *Eur J Pharm Biopharm* 2004; 57(1):1–8.
- Kreiss P, Cameron B, Rangara R, Mailhe P, Aguerre-Charriol O, Airiau M. Plasmid DNA size does not affect the physicochemical properties of lipoplexes but modulates gene transfer efficiency. *Nucleic Acids Res* 1999 1; 27(19):3792–8.
- Boussif O, Lezoualc'h F, Zanta MA, Mergny MD, Scherman D, Demeneix B, Behr JP. A versatile vector for gene and oligonucleotide transfer into cells in culture and *in vivo*: polyethyleneimine. *Proc Natl Acad Sci* 1995; 92: 7297–7301.
- NeuM. Modified Poly(ethylene imines) for plasmid delivery:Physico-chemical and in vitro/in vivo investigations.Doctor of Philosophy, Marburg, philipps university,2006.
- Petersen H, Fechner PM, Martin AL, Kunath K, Stolnik S, Roberts CJ, Fischer D, Davies MC, Kissel T. Polyethylenimine-graft-poly(ethylene glycol) copolymers: influence of copolymer block structure on DNA complexation and biological activities as gene delivery system. *Bioconjug Chem* 2002; 13:845-54.
- Banerjee P, Reichardt W, Weissleder R. Novel hyperbranched dendron for gene transfer in vitro and in vivo. *Bioconjugate Chem* 2004; 15: 960–968.
- Edelstein ML, Abedi MR, Wixon J, Edelstein RM. Gene therapy clinical trials worldwide 1989–2004 – an overview. *J Gene Med* 2004; 6(6):597–602.

9. Ruponen M, Yla-Herttula S, Urtti A. Interactions of polymeric and liposomal gene delivery systems with extracellular glycosaminoglycans: physicochemical and transfection studies. *Biochim Biophys Acta* 1999; 1415: 331–41.
10. Muyllemans S, Baral TN, Cortez Retamozzo V, De Baetselier P, De Genn E, Kinne J, Leonhardt H, Magez S, Nguyen VK, Revets H, Rothbauer U, Stijlemans B, Tillib S, Wernery U, Wyns L, Hassanzadeh-Ghassabeh Gh, Saerens D. Camelid immunoglobulins and nanobody technology. *Veterinary Immunology and Immunopathology* 2009;128:178–183
11. Thor A, Viglione MJ, Muraro R, Ohuchi N, Schlam J, Gorstein F. Monoclonal antibody B72.3 reactivity with human endometrium: a study of normal and malignant tissues. *Int J Gynecol Pathol* 1987; 6:235–247.
12. Paterson AJ, Schlam J, Sears HF, Bennett J, Colcher D. A radioimmunoassay for the detection of a human tumor-associated glycoprotein (TAG-72) using monoclonal antibody B72.3. *Int J Cancer* 1986 May 15; 37(5):659-66.
13. El Ouahabi A , Thiry M , Pector V , Fuks R , Ruysschaert JM ,Vandenbranden M. The role of endosome destabilizing activity in the gene transfer process mediated by cationic lipids. *FEBS Lett*, 1997; 414:187 - 192.
14. Goula D, Benoit D, Mantero S, Merlo G, Levi G, Demeneix BA. Polyethylenimine-based intravenous delivery of transgenes to mouse lung. *Gene Ther*, 1998; 5:1291 - 1295.
15. Chollet P, Favrot MC, Hurbin A, Coll JL. Side effects of a systemic injection of linear polyethylenimine-DNA complexes. *J Gene Med*, 2002; 4:84 - 91.
16. Rao GA, Tsai R, Roura D, Hughes JA. Evaluation of the transfection property of a peptideligand for the fibroblast growth factor receptor as part of PEGylated polyethylenimine polyplex. *Journal of drug targeting* 2008; 16(1):79-89.
17. Ogris M, Brunner S, Schuller S, Kircheis R, Wagner E. PEGylated DNA/transferrin-PEI complexes: reduced interaction with blood components, extended circulation in blood and potential for systemic gene delivery. *Gene Ther*, 1999; 6:595 - 605.
18. Ward ES, Gussow DH, Griffiths AD, Jones PT, Winter G. Binding activities of a single immunoglobulin variable domain secreted from *E. coli*. *Nature*, 1989; 341:544 - 546.
19. Borrebaeck CAK, Malmborg AC, Furebring C, et al. Kinetic analysis of recombinant antibody-antigen interactions: relation between structural domains and antigen binding. *Biotechnology*, 1992; 10:697 - 698.
20. Merdan T, Callahan J, Petersen H, Kunath K, Bakowsky U, Kopecková P, Kissel T, Kopecek J. Pegylated Polyethylenimine-Fab' Antibody Fragment Conjugates for Targeted Gene Delivery to Human Ovarian Carcinoma Cells. *Bioconjugate Chem*, 2003; 14:989 - 996.
21. Farokhmanesh S, Rahbarizadeh F, Rasaei MJ, Kamali A, Mashkani B. Hybrid promoters directed tBd gene expression to breast cancer cells by transcriptional targeting. *Biotechnol Prog*. 2010 Mar-Apr; 26(2):505-11.
22. Chiu SJ, Ueno NT, Lee RJ. Tumor-targeted gene delivery via anti-HER2 antibody (trastuzumab, Herceptin®) conjugated polyethylenimine. *Journal of Controlled Release*, 2004; 97:357– 369.
23. Strehblow C, Schuster M, Moritz T, Kirch HC, Opalka B,P. JB. Monoclonal antibody-polyethylenimine conjugates targeting Her-2/neu or CD90 allow cell type-specific nonviral gene delivery. *Journal of Controlled Release*, 2005; 102:737–747.
24. Ogris M, Steinlein P, Carotta S, Brunner S, Wagner E. DNA/polyethylenimine transfection particles: Influence of ligands, polymer size, and PEGylation on internalization and gene expression. *AAPS PharmSci*, 2001; 3(3): article 21.
25. Li D, Wang Q, Tang G, Huang H, Shen F, Li J, Yu H. Receptor-mediated gene delivery using polyethylenimine (PEI) coupled with polypeptides targeting FGF receptors on cells surface. *J Zhejiang Univ SCIENCE B*, 2006; 7(11):906 - 911.
26. Erbacher P, Remy JS, Behr JP. Gene transfer with synthetic virus-like particles via the integrin-mediated endocytosis pathway. *Gene Ther*, 1999; 6:138 - 145.
27. Zanta MA, Boussif O, Adib A, Behr JP. In vitro gene delivery to hepatocytes with galactosylated polyethylenimine. *Bioconjug Chem*, 1997; 8:839 - 844.
28. Cotten M, Wagner E, Birnstiel ML. Receptor-mediated transport of DNA into eukaryotic cells. *Methods Enzymol*, 1993; 217:618–644.
29. Hofland HEJ, Masson C, Iginla S, Osetinsky L, Reddy JA, Leamon CP, Scherman D, Bessodes M, Wils P. Folate-targeted gene transfer in vivo. *Mol Ther*, 2002; 5:739 - 744.
30. Guo W, Lee RJ. Receptor-Targeted Gene Delivery Via Folate-Conjugated Polyethylenimine. *AAPS Pharmsci*, 1999; 1(4): article 19.
31. Mislick KA, Baldeschwieler JD, Kayem JF, Meade TJ. Transfection of folate–polylysine DNA complexes: evidence for lysosomal delivery. *Bioconjug Chem*, 1995; 6(5):512–515.
32. Shadidi M, Sioud M. Identification of novel carrier peptides for the specific delivery of therapeutics into cancer cells. *FASEB J*, 2002; 16: 478 -494.
33. Kim JS, Maruyama A, Akaike T, Kim SW. In vitro gene expression on smooth muscle cells using a Terplex delivery system. *J Control Release*, 1997; 47:51 - 59.
34. Guo W, Lee RJ. Efficient gene delivery via non-covalent complexes of folic acid and polyethylenimine. *J Control Release*, 2001; 77:131 - 138.
35. Benns JM, Kim SW. Tailoring new gene delivery designs for specific targets. *J Drug Target*, 2000; 8:1 - 12.
36. von Gersdorff KF, PEG-Shielded and EGF Receptor Targeted DNA Polyplexes: Cellular Mechanisms, in Fakultät für Chemie und Pharmazie. 2006, Ludwig-Maximilians-Universität: Munchen.
37. Ogris M, Walker G, Blessing T, Kircheis R, Wolschek M, Wagner E. Tumor-targeted gene therapy: strategies for the preparation of ligand–polyethylene glycol–polyethylenimine /DNA complexes. *Journal of Controlled Release*, 2003; 91:173 - 181.

38. Suh W, Han SO, Yu L, Kim SW. An angiogenic, endothelial-cell-targeted polymeric gene carrier. *Mol Ther*, 2002; 6:664 - 672.
39. Kunath K, Merdan T, Hegener O, Haberlein H, Kissel T. Integrin targeting using RGD-PEI conjugates for in vitro gene transfer. *j Gene Med*, 2003; 5:588 - 599.
40. Guadagni F, Roselli M, Cosimelli M, Ferroni P, Spila A, Cavaliere F, Arcuri R, Carlini S, Mariotti S, Gandolfo GM, Casciani CU, Greiner JW, Schlor J. TAG-72 expression and its role in the biological evaluation of human colorectal cancer. *Anticancer Res*. 1996 - ;16(4B):2141-8